Responsable: COLOMBO Daniele

Date: 03/05/2018 Page: 1/32 Clé: V6.04.511 Révision

e7666fea89fb

# SSNV511 – Bloc découpé par deux interfaces intersectées avec X-FEM

#### Résumé:

Ce test permet de valider l'approche intersection avec X-FEM. Il s'agit d'un cas test où l'on introduit trois fissures. La première fissure coupe complètement le domaine. Les deux autres fissures sont définies par une même level-set normale. Elles sont branchées de part et d'autre de la première via le mot clé JONCTION de l'opérateur DEFI FISS XFEM . La double jonction forme alors une intersection. On teste l'approche avec et sans contact.

Date: 03/05/2018 Page: 2/32 Responsable: COLOMBO Daniele Clé: V6.04.511 Révision

e7666fea89fb

### Problème de référence

#### 1.1 Géométrie

La structure est un carré sain dans lequel on introduit deux interfaces, en rouge sur la figure 1.1-a. Les deux interfaces se croisent, Les dimensions de la structure ainsi que la position des interfaces sont données sur cette figure.

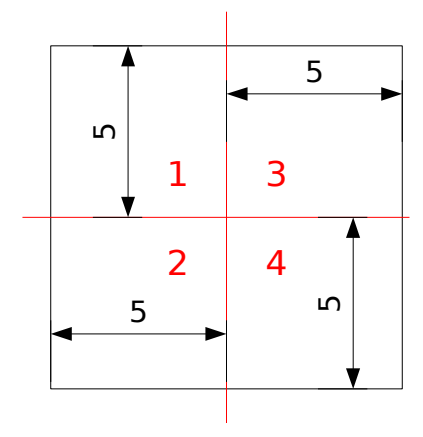


Figure 1.1-a : Géométrie de la structure, position des interfaces et numérotation des zones utilisées pour tester l'écart entre les déplacements calculés et les déplacements analytiques.

#### 1.2 Propriétés du matériau

Le matériau a un comportement élastique isotrope dont les propriétés sont:

Module d'Young : 100 MPa Coefficient de poisson: 0.3

#### 1.3 Conditions aux limites et chargements

Dans le cas sans contact (modélisations A à D), on applique des conditions en déplacement sur les bords gauche et droit de la structure, de manière à ce que chacune des 4 zones ait un déplacement différent des autres selon X. Ce chargement est représenté figure 1.3-a. On bloque les déplacements en Y (et en Z pour les modélisations  $3\,D$  ) sur ces mêmes bords. On obtient alors des déplacements de modes rigides pour les 4 blocs.

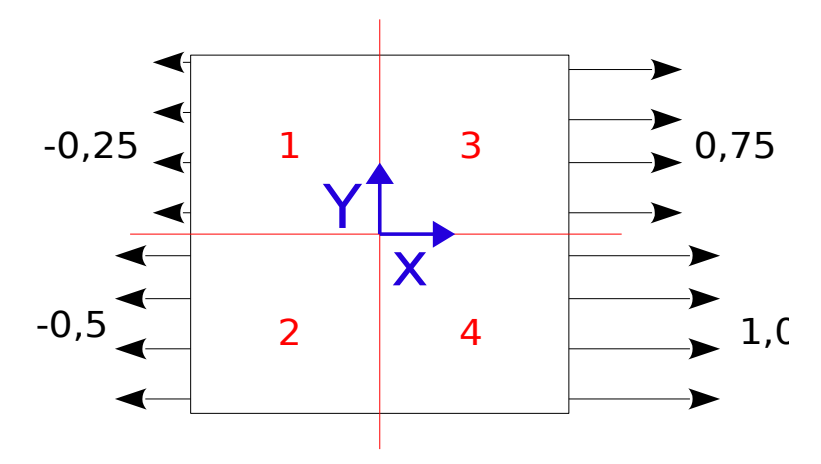


Figure 1.3-a: Illustration des conditions aux limites et des chargements, cas sans contact.

Responsable : COLOMBO Daniele

Date : 03/05/2018 Page : 3/32 Clé : V6.04.511 Révision e7666fea89fb

Dans le cas du contact (modélisations E à H), on impose des conditions de rouleau sur les bords gauche et bas et on applique la pression en escalier de la figure 1.3-b sur les bords droit et haut. Ce chargement est représenté figure 1.3-c. Chaque bloc est alors compressé de manière uniforme selon X et Y. Pour les modélisations 3D, une condition de rouleau est imposée en Z=0.

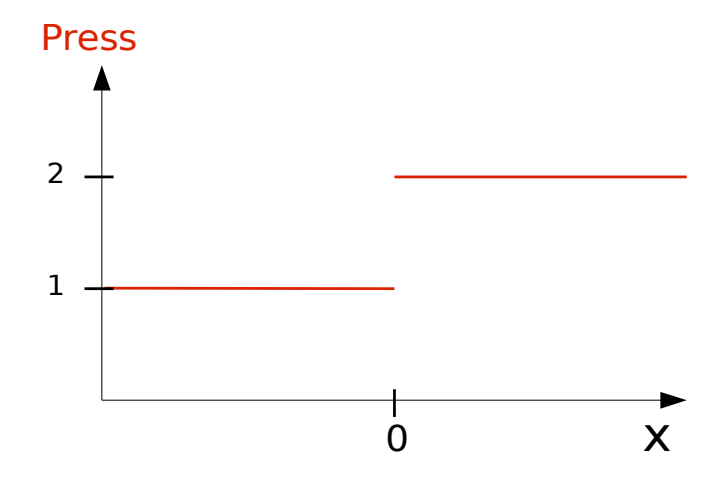


Figure 1.3-b : Pression imposé selon X sur le bord haut et selon Y sur le bord droit, (en MPa).

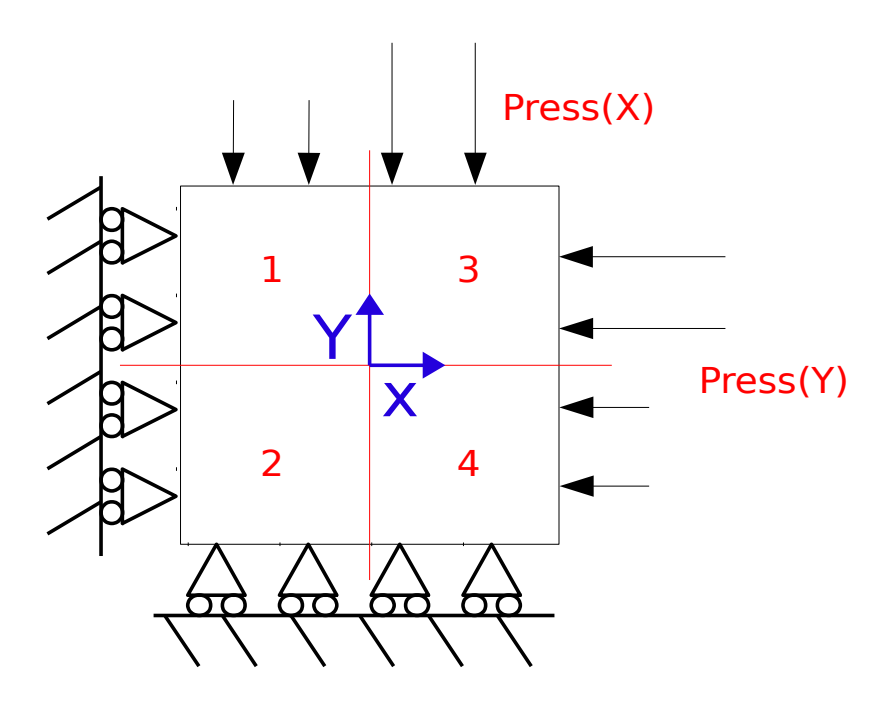


Figure 1.3-c: Illustration des conditions aux limites et des chargements, cas avec contact.

Responsable : COLOMBO Daniele

Date : 03/05/2018 Page : 4/32 Clé : V6.04.511 Révision

e7666fea89fb

### 2 Solution de référence

Soit  $\Omega=[-5,+5]\times[-5,+5]$  le domaine occupé par le solide, dans le plan (X,Y). Le domaine  $\Omega$  est partitionné en  $\Omega=\Omega_1\cup\Omega_2\cup\Omega_3\cup\Omega_4$ , où on a posé :

$$\begin{split} &\Omega_1 \! = \! [-5,0[\times]0,\!+5], \\ &\Omega_2 \! = \! [-5,0[\times]-5,0[,\\ &\Omega_3 \! = \! ]0,\!+5] \! \times \! ]0,\!+5], \\ &\Omega_4 \! = \! ]0,\!+5] \! \times \! [-5,0[. \end{split}$$

### 2.1 Cas sans contact

Sans contact, chaque zone doit subir un mouvement de corps rigide correspondant à la condition limite imposée sur son bord (droit ou gauche).

L'énergie de la structure est donc :

$$E^e = 0$$
.

Le champ de déplacement solution analytique est :

$$u = u_x(x, y) e_x$$

avec:

$$u_{x}(x,y) = \begin{cases} -\frac{1}{4} \text{ pour } (x,y) \in [-5,0[\times]0,+5[,\\ -\frac{1}{2} \text{ pour } (x,y) \in [-5,0[\times]-5,0[,\\ +\frac{3}{4} \text{ pour } (x,y) \in ]0,+5[\times]0,+5[,\\ +1 \text{ pour } (x,y) \in ]0,+5[\times]-5,0[,\end{cases}$$

La norme  $L^2$  du déplacement est définie par :

$$\|\mathbf{u}\|_{L^{2}}^{2} = \int_{\Omega} \|\mathbf{u}\|^{2} d\Omega$$
.

On a donc:

$$\|\mathbf{u}\|_{L^2}^2 = 25\left(\frac{1}{16} + \frac{1}{4} + \frac{9}{16} + 1\right) = 25\frac{15}{8}.$$

Soit:

$$\|\mathbf{u}\|_{L^2} = \frac{5}{2} \sqrt{\frac{15}{2}} \approx 6.84653196881 \text{ m}^2.$$

Ce résultat est valable dans le cas des contraintes planes et des déformations planes. Dans le cas 3D, l'épaisseur choisie est 1 m. L'expression de la norme  $L^2$  du déplacement est identique, mais les unités sont modifiées.

Titre: SSNV511 - Bloc découpé par deux interfaces interse[...] Responsable: COLOMBO Daniele

Date: 03/05/2018 Page: 5/32 Clé: V6.04.511 Révision

e7666fea89fb

On a alors:

$$\|\mathbf{u}\|_{L^2} = \frac{5}{2} \sqrt{\frac{15}{2}} \approx 6.84653196881 \text{ m}^{\frac{5}{2}}.$$

#### 2.2 Cas avec contact

Soit:

$$p_{x}(y) = \begin{cases} 1 \text{ MPa pour } y \in [-5,0[\\ 2 \text{ MPa pour } y \in ]0,+5] \end{cases} \text{ et } p_{y}(x) = \begin{cases} 1 \text{ MPa pour } x \in [-5,0[\\ 2 \text{ MPa pour } x \in ]0,+5] \end{cases}.$$

On a donc par définition :

$$\begin{array}{l} p_{\scriptscriptstyle X}(y) \! = \! 2 \text{ et } p_{\scriptscriptstyle Y}(x) \! = \! 1 \text{, dans } \Omega_{1,} \\ p_{\scriptscriptstyle X}(y) \! = \! 1 \text{ et } p_{\scriptscriptstyle Y}(x) \! = \! 1 \text{, dans } \Omega_{2,} \\ p_{\scriptscriptstyle X}(y) \! = \! 2 \text{ et } p_{\scriptscriptstyle Y}(x) \! = \! 2 \text{, dans } \Omega_{3,} \\ p_{\scriptscriptstyle X}(y) \! = \! 1 \text{ et } p_{\scriptscriptstyle Y}(x) \! = \! 2 \text{, dans } \Omega_{4.} \end{array} \qquad \qquad \text{\'eq 2.2-1}$$

#### 2.2.1 Cas des déformations planes

Le tenseur des contraintes solution analytique est :

$$\mathbf{\sigma} = -p_x(y)\mathbf{e}_x \otimes \mathbf{e}_x - p_y(x)\mathbf{e}_y \otimes \mathbf{e}_y - v(p_x(y) + p_y(x))\mathbf{e}_z \otimes \mathbf{e}_z$$

On a:

$$tr(\mathbf{\sigma}) = -(1+\mathbf{v})(p_x(y)+p_y(x)).$$

Le tenseur des déformations est obtenu en appliquant la loi de Hooke :

$$\varepsilon = \frac{1+v}{E} \sigma - \frac{v}{E} tr(\sigma) I,$$

où I est le tenseur identité.

On a donc:

$$\mathbf{\varepsilon} = -\left(\frac{(1+\nu)(1-\nu)\,p_{x}(y)}{E} - \frac{\nu(1+\nu)\,p_{y}(x)}{E}\right)\mathbf{e}_{x} \otimes \mathbf{e}_{x}$$

$$-\left(\frac{(1+\nu)(1-\nu)\,p_{y}(x)}{E} - \frac{\nu(1+\nu)\,p_{x}(y)}{E}\right)\mathbf{e}_{y} \otimes \mathbf{e}_{y}$$

On a donc:

$$\sigma : \varepsilon = \frac{(1+v)(1-v)}{E} (p_x(y))^2 - 2\frac{v(1+v)}{E} p_x(y) p_y(x) + \frac{(1+v)(1-v)}{E} (p_y(x))^2.$$

D'où:

$$E^{e} = \frac{1}{2} \frac{1+v}{E} \int_{\Omega} \left[ (1-v) (p_{x}(y))^{2} - 2v p_{x}(y) p_{y}(x) + (1-v) (p_{y}(x))^{2} \right] d\Omega$$

Responsable : COLOMBO Daniele

e7666fea89fb

On a donc d'après l'équation 2.2-1 :

$$\begin{split} E^{e} &= \frac{1}{2} \frac{1+v}{E} \Big[ \int_{\Omega_{1}} \big[ 4(1-v) - 4v + (1-v) \big] d\Omega + \int_{\Omega_{2}} \big[ (1-v) - 2v + (1-v) \big] d\Omega \\ &+ \int_{\Omega_{2}} \big[ 4(1-v) - 8v + 4(1-v) \big] d\Omega + \int_{\Omega_{4}} \big[ (1-v) - 4v + 4(1-v) \big] d\Omega \Big]. \end{split}$$

Soit:

$$E^e\!=\!\frac{1}{2}\frac{1\!+\!\nu}{E}\!\big[(5\!-\!9\nu)|\Omega_1|\!+\!(2\!-\!4\nu)|\Omega_2|\!+\!(8\!-\!16\nu)|\Omega_3|\!+\!(5\!-\!9\nu)|\Omega_4|\big].$$

On a:

$$|\Omega_1| = |\Omega_2| = |\Omega_3| = |\Omega_4| = 5 \times 5 = 25.$$

On a donc:

$$E^{e} = \frac{1}{2} \frac{1+v}{E} 25 [(5-9v) + (2-4v) + (8-16v) + (5-9v).]$$

Et finalement :

$$E^{e} = \frac{25(1+v)(10-19v)}{E} = 1,3975 \text{ MJ} \times \text{m}^{-1}.$$

Le champ de déplacement analytique  $u=u_x e_x + u_y e_y$  s'obtient en intégrant les déformations :

$$u_x = \int_{-5}^x \varepsilon_{xx} dx ,$$
  
$$u_y = \int_{-5}^y \varepsilon_{yy} dy ,$$

car les conditions limites appliquées sont  $u_x(x=-5)=0$  et  $u_y(y=-5)=0$ . Il est à noter que le tenseur des déformations est discontinu. On a en effet :

$$\boldsymbol{\varepsilon} = \begin{cases} -\frac{(1+\nu)(2-3\nu)}{E} \boldsymbol{e}_{x} \otimes \boldsymbol{e}_{x} - \frac{(1+\nu)(1-3\nu)}{E} \boldsymbol{e}_{y} \otimes \boldsymbol{e}_{y}, \text{ dans } [-5,0[\times]0,+5] \\ -\frac{(1+\nu)(1-2\nu)}{E} \boldsymbol{e}_{x} \otimes \boldsymbol{e}_{x} - \frac{(1+\nu)(1-2\nu)}{E} \boldsymbol{e}_{y} \otimes \boldsymbol{e}_{y}, \text{ dans } [-5,0[\times[-5,0[\times]0,+5]\times]0,+5] \\ -\frac{2(1+\nu)(1-2\nu)}{E} \boldsymbol{e}_{x} \otimes \boldsymbol{e}_{x} - \frac{2(1+\nu)(1-2\nu)}{E} \boldsymbol{e}_{y} \otimes \boldsymbol{e}_{y}, \text{ dans } [0,+5] \times [0,+5] \\ -\frac{(1+\nu)(1-3\nu)}{E} \boldsymbol{e}_{x} \otimes \boldsymbol{e}_{x} - \frac{(1+\nu)(2-3\nu)}{E} \boldsymbol{e}_{y} \otimes \boldsymbol{e}_{y}, \text{ dans } [0,+5] \times [-5,0[\times]0,+5] \end{cases}$$

On remarque que le champ de déformations est discontinu au travers des droites d'équation x=0 et y=0. Il est donc nécessaire de distinguer les cas selon le signe de la coordonnée sur laquelle on intègre pour expliciter la valeur des intégrales.

Titre: SSNV511 – Bloc découpé par deux interfaces interse[...]
Responsable: COLOMBO Daniele

Révision e7666fea89fb

Date: 03/05/2018 Page: 7/32

Clé: V6.04.511

On a ainsi:

$$u_{x} = \begin{cases} \int_{-5}^{x} \left[ -\frac{(1+\nu)(2-3\nu)}{E} \right] dx, & \text{dans } [-5,0[\times]0,+5] \\ \int_{-5}^{x} \left[ -\frac{(1+\nu)(1-2\nu)}{E} \right] dx, & \text{dans } [-5,0[\times]-5,0[\times]-5,0[\times]-5,0[\times]-5] \\ \int_{-5}^{0} \left[ -\frac{(1+\nu)(2-3\nu)}{E} \right] dx + \int_{0}^{x} \left[ -\frac{2(1+\nu)(1-2\nu)}{E} \right] dx, & \text{dans } [0,+5]\times[0,+5] \\ \int_{-5}^{0} \left[ -\frac{(1+\nu)(1-2\nu)}{E} \right] dx + \int_{0}^{x} \left[ -\frac{(1+\nu)(1-3\nu)}{E} \right] dx, & \text{dans } [0,+5]\times[-5,0[\times]-5,0[\times]-5] \end{cases}$$

et

$$u_{y} = \begin{cases} \int_{-5}^{0} \left[ -\frac{(1+\nu)(1-2\nu)}{E} \right] dy + \int_{0}^{y} \left[ -\frac{(1+\nu)(1-3\nu)}{E} \right] dy, \text{ dans } [-5,0[\times]0,+5] \\ \int_{-5}^{y} \left[ -\frac{(1+\nu)(1-2\nu)}{E} \right] dy, \text{ dans } [-5,0[\times]-5,0[\times]-5,0[\times]-5,0[\times]-5] \\ \int_{-5}^{0} \left[ -\frac{(1+\nu)(2-3\nu)}{E} \right] dy + \int_{0}^{y} \left[ -\frac{2(1+\nu)(1-2\nu)}{E} \right] dy, \text{ dans } [0,+5] \times [0,+5] \\ \int_{-5}^{y} \left[ -\frac{(1+\nu)(2-3\nu)}{E} \right] dy, \text{ dans } [0,+5] \times [-5,0[\times]-5] \end{cases}$$

Soit:

$$u_{x} = \begin{cases} -\frac{(1+\nu)(2-3\nu)}{E}x - 5\frac{(1+\nu)(2-3\nu)}{E}, & \text{dans } [-5,0[\times]0,+5] \\ -\frac{(1+\nu)(1-2\nu)}{E}x - 5\frac{(1+\nu)(1-2\nu)}{E}, & \text{dans } [-5,0[\times]$$

et:

$$u_{y} = \begin{cases} -\frac{(1+\nu)(1-3\nu)}{E} y - 5\frac{(1+\nu)(1-2\nu)}{E}, & \text{dans } [-5,0[\times]0,+5] \\ -\frac{(1+\nu)(1-2\nu)}{E} y - 5\frac{(1+\nu)(1-2\nu)}{E}, & \text{dans } [-5,0[\times[-5,0[\times]0,+5]] \\ -\frac{2(1+\nu)(1-2\nu)}{E} y - 5\frac{(1+\nu)(2-3\nu)}{E}, & \text{dans } ]0,+5[\times]0,+5] \\ -\frac{(1+\nu)(2-3\nu)}{E} y - 5\frac{(1+\nu)(2-3\nu)}{E}, & \text{dans } ]0,+5[\times[-5,0[\times]0,+5]] \end{cases}$$

Responsable: COLOMBO Daniele

Date : 03/05/2018 Page : 8/32 Clé : V6.04.511 Révision

e7666fea89fb

Il est à noter que le champ de déplacement n'est pas continu. Le champ étant solution d'un problème de contact, la partie normale aux interfaces du déplacement est continue et on a :

$$u_{x}(x=0^{-})=u_{x}(x=0^{+})=\begin{cases} -5\frac{(1+v)(1-2v)}{E}, & \text{pour } y \in [-5,0[\\ -5\frac{(1+v)(2-3v)}{E}, & \text{pour } y \in ]0,+5] \end{cases}$$

et

$$u_{y}(y=0^{-})=u_{y}(y=0^{+})=\begin{cases} -5\frac{(1+v)(1-2v)}{E}, \text{ pour } x \in [-5,0[\\ -5\frac{(1+v)(2-3v)}{E}, \text{ pour } x \in ]0,+5] \end{cases}.$$

En revanche, la partie tangentielle du déplacement est discontinue et on a :

$$u_{y}(x=0^{+})-u_{y}(x=0^{-})=-\frac{(y+5)(1+v)(1-v)}{E}$$
,

et

$$u_x(y=0^+)-u_x(y=0^-)=-\frac{(x+5)(1+v)(1-v)}{E}$$
.

Le calcul de l'intégrale du carré de la norme du déplacement doit donc encore une fois utiliser une partition du domaine conforme aux interfaces d'équation x=0 et y=0.

On a donc :

$$\int_{\Omega} ||\boldsymbol{u}||^2 d\Omega = \int_{\Omega_1} \left( u_x^2 + u_y^2 \right) d\Omega + \int_{\Omega_2} \left( u_x^2 + u_y^2 \right) d\Omega + \int_{\Omega_3} \left( u_x^2 + u_y^2 \right) d\Omega + \int_{\Omega_4} \left( u_x^2 + u_y^2 \right) d\Omega.$$

On a finalement:

$$\int_{\Omega} ||\boldsymbol{u}||^2 d\Omega = \frac{1250(131v^4 + 119v^3 - 115v^2 - 3685v + 40)}{3E^2}.$$

D'où :

$$\|\boldsymbol{u}\|_{L^2} = \frac{25}{E} \sqrt{\frac{2(131v^4 + 119v^3 - 115v^2 - 63v + 40)}{3}} \approx 0,791204250915 \text{ m}^2.$$

#### 2.2.2 Cas des contraintes planes

Le tenseur des contraintes solution analytique est :

$$\mathbf{\sigma} = -p_x(y)\mathbf{e}_x \otimes \mathbf{e}_x - p_y(x)\mathbf{e}_y \otimes \mathbf{e}_y$$
 éq 2.2-4

On a:

$$tr(\mathbf{\sigma}) = -(p_x(y) + p_y(x)).$$

Responsable: COLOMBO Daniele

Date: 03/05/2018 Page: 9/32 Clé: V6.04.511 Révision

e7666fea89fb

Le tenseur des déformations est obtenu en appliquant la loi de Hooke et on a :

$$\begin{split} \mathbf{\varepsilon} = & \left[ -\frac{1+\mathbf{v}}{E} \, p_{x}(y) + \frac{\mathbf{v}}{E} (p_{x}(y) + p_{y}(x)) \right] \boldsymbol{e}_{x} \otimes \boldsymbol{e}_{x} + \left[ -\frac{1+\mathbf{v}}{E} \, p_{y}(x) + \frac{\mathbf{v}}{E} (p_{x}(y) + p_{y}(x)) \right] \boldsymbol{e}_{y} \otimes \boldsymbol{e}_{y} \\ & \quad + \frac{\mathbf{v}}{E} (p_{x}(y) + p_{y}(x)) \boldsymbol{e}_{z} \otimes \boldsymbol{e}_{z} \end{split}$$

Et finalement :

$$\mathbf{\varepsilon} = -\left(\frac{p_x(y)}{E} - v \frac{p_y(x)}{E}\right) \mathbf{e}_x \otimes \mathbf{e}_x - \left(\frac{p_y(x)}{E} - v \frac{p_x(y)}{E}\right) \mathbf{e}_y \otimes \mathbf{e}_y + \frac{v}{E} \left(p_x(y) + p_y(x)\right) \mathbf{e}_z \otimes \mathbf{e}_z$$

L'énergie de la structure est :

$$E^e = \frac{1}{2} \int_{\Omega} \mathbf{\sigma} : \mathbf{\varepsilon} \, d\Omega$$

On a:

$$\mathbf{\sigma} : \mathbf{\varepsilon} = p_x(y) \left( \frac{p_x(y)}{E} - v \frac{p_y(x)}{E} \right) + p_y(x) \left( \frac{p_y(x)}{E} - v \frac{p_x(y)}{E} \right)$$

Soit:

$$\sigma : \varepsilon = \frac{(p_x(y))^2}{E} - 2v \frac{p_x(y)p_y(x)}{E} + \frac{(p_y(x))^2}{E}$$

On a donc:

$$E^{e} = \frac{1}{2} \frac{1}{E} \int_{\Omega} \left[ (p_{x}(y))^{2} - 2v p_{x}(y) p_{y}(x) + (p_{y}(x))^{2} \right] d\Omega$$

D'où d'après l'équation 2.2-1 :

$$E^{e} = \frac{1}{2} \frac{1}{E} \left[ \int_{\Omega_{1}} (4 - 4v + 1) d\Omega + \int_{\Omega_{2}} (1 - 2v + 1) d\Omega + \int_{\Omega_{3}} (4 - 8v + 4) d\Omega + \int_{\Omega_{4}} (1 - 4v + 4) d\Omega \right].$$

Soit:

$$E^{e} = \frac{1}{2} \frac{1}{F} [(5 - 4v)|\Omega_{1}| + (2 - 2v)|\Omega_{2}| + (8 - 8v)|\Omega_{3}| + (5 - 4v)|\Omega_{4}|].$$

On a donc:

$$E^{e} = \frac{1}{2} \frac{1}{F} 25[(5-4v)+(2-2v)+(8-8v)+(5-4v).]$$

Et finalement :

$$E^e = \frac{1}{E} 25 (10 - 9 v) = 1,825 \text{ MJ} \times \text{m}^{-1}.$$
 éq 2.2-5

Responsable : COLOMBO Daniele

Date: 03/05/2018 Page: 10/32 Clé: V6.04.511 Révision

e7666fea89fb

Le champ de déplacement analytique  $u=u_x e_x + u_y e_y$  s'obtient en intégrant les déformations :

$$u_x = \int_{-5}^x \varepsilon_{xx} dx,$$
  
$$u_y = \int_{-5}^y \varepsilon_{yy} dy,$$

car les conditions limites appliquées sont  $u_x(x=-5)=0$  et  $u_y(y=-5)=0$ . Il est à noter que le tenseur des déformations est discontinu. On a en effet :

$$\mathbf{\varepsilon} = \begin{cases} -\frac{2-\nu}{E} \mathbf{e}_{x} \otimes \mathbf{e}_{x} - \frac{1-2\nu}{E} \mathbf{e}_{y} \otimes \mathbf{e}_{y} + 3\frac{\nu}{E} \mathbf{e}_{z} \otimes \mathbf{e}_{z}, & \text{dans } [-5,0[\times]0,+5] \\ -\frac{1-\nu}{E} \mathbf{e}_{x} \otimes \mathbf{e}_{x} - \frac{1-\nu}{E} \mathbf{e}_{y} \otimes \mathbf{e}_{y} + 2\frac{\nu}{E} \mathbf{e}_{z} \otimes \mathbf{e}_{z}, & \text{dans } [-5,0[\times]-5,0[\times$$

On remarque que le champ de déformations est discontinu au travers des droites d'équation x=0 et y=0. Il est donc nécessaire de distinguer les cas selon le signe de la coordonnée sur laquelle on intègre pour expliciter la valeur des intégrales. On a ainsi :

$$u_{x} = \begin{cases} \int_{-5}^{x} \left( -\frac{2-\nu}{E} \right) dx, & \text{dans } [-5,0[\times]0,+5] \\ \int_{-5}^{x} \left( -\frac{1-\nu}{E} \right) dx, & \text{dans } [-5,0[\times]-5,0[\times]-5,0[\times] \\ \int_{-5}^{0} \left( -\frac{2-\nu}{E} \right) dx + \int_{0}^{x} \left( -\frac{2-2\nu}{E} \right) dx, & \text{dans } ]0,+5[\times]0,+5] \\ \int_{-5}^{0} \left( -\frac{1-\nu}{E} \right) dx + \int_{0}^{x} \left( -\frac{1-2\nu}{E} \right) dx, & \text{dans } ]0,+5[\times]-5,0[\times] \end{cases}$$

Titre: SSNV511 – Bloc découpé par deux interfaces interse[...] Responsable: COLOMBO Daniele

Date: 03/05/2018 Page: 11/32 Révision e7666fea89fb

Clé: V6.04.511

et

$$u_{y} = \begin{cases} \int_{-5}^{0} \left( -\frac{1-\nu}{E} \right) dy + \int_{0}^{y} \left( -\frac{1-2\nu}{E} \right) dy, & \text{dans } [-5,0[\times]0,+5] \\ \int_{-5}^{y} \left( -\frac{1-\nu}{E} \right) dy, & \text{dans } [-5,0[\times[-5,0[\times]0,+5]] \\ \int_{-5}^{0} \left( -\frac{2-\nu}{E} \right) dy + \int_{0}^{y} \left( -\frac{2-2\nu}{E} \right) dy, & \text{dans } ]0,+5[\times]0,+5] \\ \int_{-5}^{y} \left( -\frac{2-\nu}{E} \right) dy, & \text{dans } ]0,+5[\times[-5,0[\times]0,+5]] \end{cases}$$

Soit:

$$u_{x} = \begin{cases} -\frac{2-v}{E}x - 5\frac{2-v}{E}, & \text{dans } [-5,0[\times]0,+5] \\ -\frac{1-v}{E}x - 5\frac{1-v}{E}, & \text{dans } [-5,0[\times[-5,0[\times]0,+5]]) \\ -\frac{2-2v}{E}x - 5\frac{2-v}{E}, & \text{dans } [0,+5]\times[0,+5] \\ -\frac{1-2v}{E}x - 5\frac{1-v}{E}, & \text{dans } [0,+5]\times[-5,0[\times]0,+5] \end{cases}$$

et:

$$u_{y} = \begin{cases} -\frac{1-2v}{E}y - 5\frac{1-v}{E}, & \text{dans } [-5,0[\times]0,+5] \\ -\frac{1-v}{E}y - 5\frac{1-v}{E}, & \text{dans } [-5,0[\times[-5,0[\times]0,+5]\times]0,+5] \\ -\frac{2-2v}{E}y - 5\frac{2-v}{E}, & \text{dans } [0,+5]\times[0,+5] \\ -\frac{2-v}{E}y - 5\frac{2-v}{E}, & \text{dans } [0,+5]\times[-5,0[\times]0,+5] \end{cases}$$
 éq 2.2-8

Il est à noter que le champ de déplacement n'est pas continu. Le champ étant solution d'un problème de contact, la partie normale aux interfaces du déplacement est continue et on a :

$$u_{x}(x=0^{-})=u_{x}(x=0^{+})=\begin{cases} -5\frac{1-\nu}{E}, \text{ pour } y\in[-5,0[\\ -5\frac{2-\nu}{E}, \text{ pour } y\in[0,+5] \end{cases},$$

et

Date: 03/05/2018 Page: 12/32 Responsable: COLOMBO Daniele Clé: V6.04.511 Révision

e7666fea89fb

$$u_{y}(y=0^{-})=u_{y}(y=0^{+})=\begin{cases} -5\frac{2-\nu}{E}, \text{ pour } x \in [-5,0[\\ -5\frac{1-\nu}{E}, \text{ pour } x \in ]0,+5] \end{cases}.$$

En revanche, la partie tangentielle du déplacement est discontinue et on a :

$$u_y(x=0^+)-u_y(x=0^-)=-\frac{y+5}{E}$$
,

et

$$u_x(y=0^+)-u_x(y=0^-)=-\frac{x+5}{F}$$
.

Le calcul de l'intégrale du carré de la norme du déplacement doit donc encore une fois utiliser une partition du domaine conforme aux interfaces d'équation x=0 et y=0.

On a donc:

$$\int_{\Omega} ||\boldsymbol{u}||^2 d\Omega = \int_{\Omega_1} \left( u_x^2 + u_y^2 \right) d\Omega + \int_{\Omega_2} \left( u_x^2 + u_y^2 \right) d\Omega + \int_{\Omega_3} \left( u_x^2 + u_y^2 \right) d\Omega + \int_{\Omega_4} \left( u_x^2 + u_y^2 \right) d\Omega.$$

On a finalement:

$$\int_{\Omega} \|\mathbf{u}\|^2 d\Omega = \frac{1250(28v^2 - 63v + 40)}{3E^2}.$$

D'où:

$$\|\mathbf{u}\|_{L^2} = \frac{25}{E} \sqrt{\frac{2(28 v^2 - 63 v + 40)}{3}} \approx 0,992051745962 \text{ m}^2.$$

#### 2.2.3 Cas 3D

La structure occupe le domaine  $\Omega_{3D} = \Omega \times [0,1]$ . Les conditions aux limites du cas 3D sont les mêmes que celles des cas 2D dans le plan (X,Y), une condition de rouleau est imposée en Z=0et le bord Z=1 est libre de contraintes. Le tenseur des contraintes solution analytique est donc identique au cas des contraintes planes (cf. éq 2.2-4) :

$$\sigma = -p_x(y)e_x \otimes e_x - p_y(x)e_y \otimes e_y$$

La densité d'énergie élastique est donc identique à celle du cas 3D. Le solide est d'épaisseur unitaire dans la direction Z. L'expression de l'énergie de la structure est donc identique au cas des contraintes planes, mais les unités sont modifiées. On a alors (cf. éq 2.2-5) :

$$E^e = \frac{1}{F} 25 (10 - 9 v) = 1,825 \text{ MJ}.$$

Le champ de déplacement analytique  $u = u_x e_x + u_y e_y + u_z e_z$  s'obtient en intégrant les déformations :

Titre : SSNV511 – Bloc découpé par deux interfaces interse[...]
Responsable : COLOMBO Daniele

Révision e7666fea89fb

Date: 03/05/2018 Page: 13/32

Clé: V6.04.511

$$u_x = \int_{-5}^{x} \varepsilon_{xx} dx,$$
  

$$u_y = \int_{-5}^{y} \varepsilon_{yy} dy,$$
  

$$u_z = \int_{0}^{z} \varepsilon_{zz} dz,$$

car les conditions limites appliquées sont  $u_x(x=-5)=0$ ,  $u_y(y=-5)=0$  et  $u_z(z=0)=0$ . Il est à noter que le tenseur des déformations est discontinu. On a en effet ( *cf.* éq 2.2- 6 ) :

$$\boldsymbol{\varepsilon} = \begin{cases} -\frac{2-\nu}{E} \boldsymbol{e}_{x} \otimes \boldsymbol{e}_{x} - \frac{1-2\nu}{E} \boldsymbol{e}_{y} \otimes \boldsymbol{e}_{y} + 3\frac{\nu}{E} \boldsymbol{e}_{z} \otimes \boldsymbol{e}_{z}, & \text{dans } [-5,0[\times]0,+5] \times [0,1] \\ -\frac{1-\nu}{E} \boldsymbol{e}_{x} \otimes \boldsymbol{e}_{x} - \frac{1-\nu}{E} \boldsymbol{e}_{y} \otimes \boldsymbol{e}_{y} + 2\frac{\nu}{E} \boldsymbol{e}_{z} \otimes \boldsymbol{e}_{z}, & \text{dans } [-5,0[\times[-5,0[\times[0,1]]]] \\ -\frac{2-2\nu}{E} \boldsymbol{e}_{x} \otimes \boldsymbol{e}_{x} - \frac{2-2\nu}{E} \boldsymbol{e}_{y} \otimes \boldsymbol{e}_{y} + 4\frac{\nu}{E} \boldsymbol{e}_{z} \otimes \boldsymbol{e}_{z}, & \text{dans } [0,+5] \times [0,1] \\ -\frac{1-2\nu}{E} \boldsymbol{e}_{x} \otimes \boldsymbol{e}_{x} - \frac{2-\nu}{E} \boldsymbol{e}_{y} \otimes \boldsymbol{e}_{y} + 3\frac{\nu}{E} \boldsymbol{e}_{z} \otimes \boldsymbol{e}_{z}, & \text{dans } [0,+5] \times [-5,0[\times[0,1]]] \end{cases}$$

On remarque que le champ de déformations est discontinu au travers des droites d'équation x=0 et y=0. Il est donc nécessaire de distinguer les cas selon le signe de la coordonnée sur laquelle on intègre pour expliciter la valeur des intégrales. Les expressions des composantes  $u_x$  et  $u_y$  sont identiques au cas des contraintes planes ( cf. éq 2.2- 7 et 2.2- 8 ) et on a pour  $u_z$ :

$$u_{z} = \begin{cases} \int_{0}^{1} \frac{3v}{E} dz, & \text{dans } [-5, 0[\times]0, +5] \times [0, 1] \\ \int_{0}^{1} \frac{2v}{E} dz, & \text{dans } [-5, 0[\times[-5, 0[\times[0, 1]]]] \\ \int_{0}^{1} \frac{4v}{E} dz, & \text{dans } [0, +5] \times [0, +5] \times [0, 1] \\ \int_{0}^{1} \frac{3v}{E} dz, & \text{dans } [0, +5] \times [-5, 0[\times[0, 1]]] \end{cases}$$

Soit:

$$u_{z} = \begin{cases} \frac{3 v}{E} z, & \text{dans } [-5, 0[\times]0, +5] \times [0, 1] \\ \frac{2 v}{E} z, & \text{dans } [-5, 0[\times]-5, 0[\times]0, 1] \\ \frac{4 v}{E} z, & \text{dans } [0, +5] \times [0, +5] \times [0, 1] \\ \frac{3 v}{E} z, & \text{dans } [0, +5] \times [-5, 0[\times]0, 1] \end{cases}$$
 éq 2.2-9

Le calcul de l'intégrale du carré de la norme du déplacement doit donc encore une fois utiliser une partition du domaine conforme aux interfaces d'équation x=0 et y=0. On a donc :

Responsable: COLOMBO Daniele

Date : 03/05/2018 Page : 14/32 Clé : V6.04.511 Révision

e7666fea89fb

$$\begin{split} \int_{\Omega_{3D}} ||\boldsymbol{u}||^2 d\Omega &= \int_{\Omega_1 \times [0,1]} \left( u_x^2 + u_y^2 + u_z^2 \right) d\Omega + \int_{\Omega_2 \times [0,1]} \left( u_x^2 + u_y^2 + u_z^2 \right) d\Omega \\ &+ \int_{\Omega_3 \times [0,1]} \left( u_x^2 + u_y^2 + u_z^2 \right) d\Omega + \int_{\Omega_4 \times [0,1]} \left( u_x^2 + u_y^2 + u_z^2 \right) d\Omega. \end{split}$$

On a finalement:

$$\int_{\Omega_{3D}} ||\mathbf{u}||^2 d\Omega = \frac{50 (719 v^2 - 1575 v + 1000)}{3E^2}.$$

D'où:

$$\|\mathbf{u}\|_{L^2} = \frac{5}{E} \sqrt{\frac{2(719 v^2 - 1575 v + 1000)}{3}} \approx 0,99348712456 \text{ m}^{\frac{5}{2}}.$$

Responsable : COLOMBO Daniele Clé : V6.04.511 Révision

e7666fea89fb

Date: 03/05/2018 Page: 15/32

### 3 Modélisation A

## 3.1 Caractéristiques de la modélisation

Il s'agit d'une modélisation X-FEM, en déformations planes. Les interfaces sont définies par des fonctions de niveaux (level sets normales notées LN ).

Les éguations des fonctions de niveaux pour les interfaces horizontale et verticale sont les suivantes :

$$LN 1 = Y$$
 éq 3.1-1  
 $LN 2 = X$  éq 3.1-2

L'interface horizontale est définie de manière classique en utilisant l'opérateur  $\mathtt{DEFI\_FISS\_XFEM}$  avec la level set normale LN1.

Pour définir l'interface verticale, on procède en deux étapes. On appelle une première fois l'opérateur  ${\tt DEFI\_FISS\_XFEM}$  avec la level set normale LN2, en définissant un point « au dessus » de la fissure horizontale pour le mot clé  ${\tt JONCTION}$  (le point n'est pas obligatoirement sur la level set). Cette étape permet de définir la partie supérieure de l'interface verticale (voir figure 3.1-a au centre). On appelle une deuxième fois l'opérateur  ${\tt DEFI\_FISS\_XFEM}$  de la même manière, mais en définissant un point « en dessous » de la fissure (voir figure 3.1-a à droite).

On a donc appelé au total 3 fois <code>DEFI\_FISS\_XFEM</code> (création de 3 objets fissures) pour définir les deux interfaces qui s'intersectent. D'un point de vue théorique, chaque objet fissure ajoute un enrichissement de type Heaviside. Ce qui fait un total de trois degrés de liberté Heaviside en plus des degrés de liberté classiques. On a donc bien 4 degré de liberté au niveau de l'intersection, ce qui permet de déplacer de manière indépendantes les 4 zones générées par les 2 interfaces.

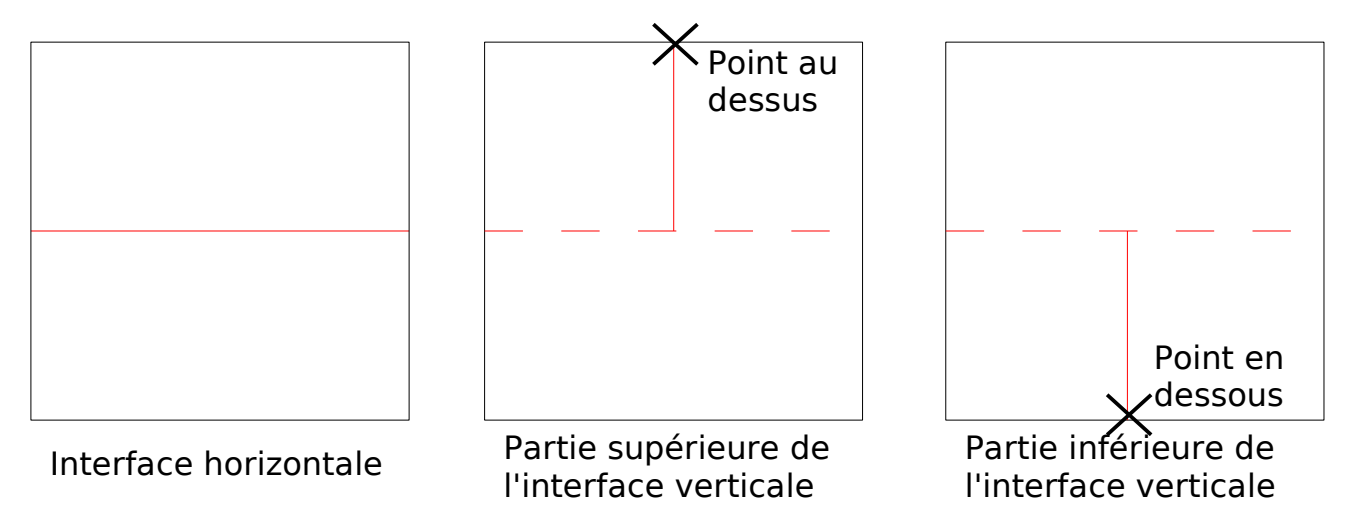


Figure 3.1-a : Étapes de construction de l'intersection.

# 3.2 Caractéristiques du maillage

Le maillage qui comporte 25 mailles de type  ${\tt QUAD4}$ , est représenté sur la figure 3.2-a. On remarque sur cette figure que la maille centrale est coupée par les deux interfaces. Ce test permet donc de valider le découpage multiple. Notons que les nœuds de cette maille sont enrichis 3 fois, ils possèdent donc les degrés de liberté DX, DY, H1X, H1Y, H2X, H2Y, H3X et H3Y.

Responsable : COLOMBO Daniele

Date : 03/05/2018 Page : 16/32 Clé : V6.04.511 Révision

e7666fea89fb

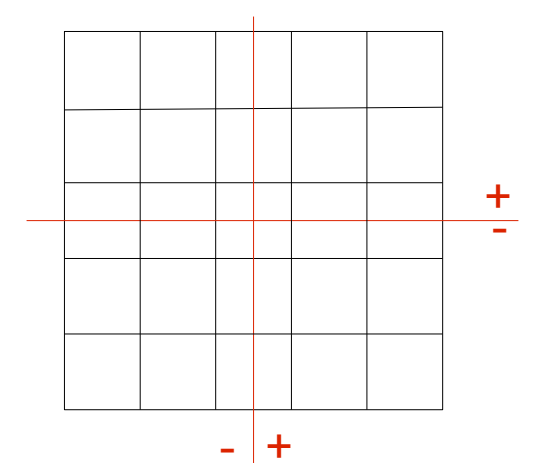


Figure 3.2-a : Le maillage de la modélisation A.

### 3.3 Grandeurs testées et résultats

On teste les déplacements au niveau des lèvres des fissures après avoir effectué les opérations de post-traitements relatives à X-FEM (POST\_MAIL\_XFEM et POST\_CHAM\_XFEM). Le déplacement DX doit correspondre au chargement imposé de la figure 1.3-a sur chacune des zones et DY doit être nul. On teste le min et le max sur les lèvres de chacune des zones.

ld	entification		Référence	Type de référence	Précision
	DV	MIN	-0.25	'ANALYTIQUE'	10^-12%
DEDEON 1	DX	MAX	-0.25	'ANALYTIQUE'	10^-12%
DEPZON_1	DY	MIN	0	'ANALYTIQUE'	10^-12%
	Dī	MAX	0	'ANALYTIQUE'	10^-12%
	DX	MIN	-0.5	'ANALYTIQUE'	10^-12%
DEPZON 2	DX	MAX	-0.5	'ANALYTIQUE'	10^-12%
DEFZON_2	DY	MIN	0	'ANALYTIQUE'	10^-12%
		MAX	0	'ANALYTIQUE'	10^-12%
	DX	MIN	0.75	'ANALYTIQUE'	10^-12%
DEPZON 3		MAX	0.75	'ANALYTIQUE'	10^-12%
DEFZON_3	DY	MIN	0	'ANALYTIQUE'	10^-12%
		MAX	0	'ANALYTIQUE'	10^-12%
DEDZON 4	DX	MIN	0.75	'ANALYTIQUE'	10^-12%
	DA	MAX	0.75	'ANALYTIQUE'	10^-12%
DEPZON_4	DY	MIN	0	'ANALYTIQUE'	10^-12%
	וע	MAX	0	'ANALYTIQUE'	10^-12%

Tableau 3.3-1

Titre : SSNV511 – Bloc découpé par deux interfaces interse[...]
Responsable : COLOMBO Daniele

Date : 03/05/2018 Page : 17/32 Clé : V6.04.511 Révision

e7666fea89fb

La déformée est représentée sur la figure 3.4-a. Le code couleur représente le champ de déplacement.

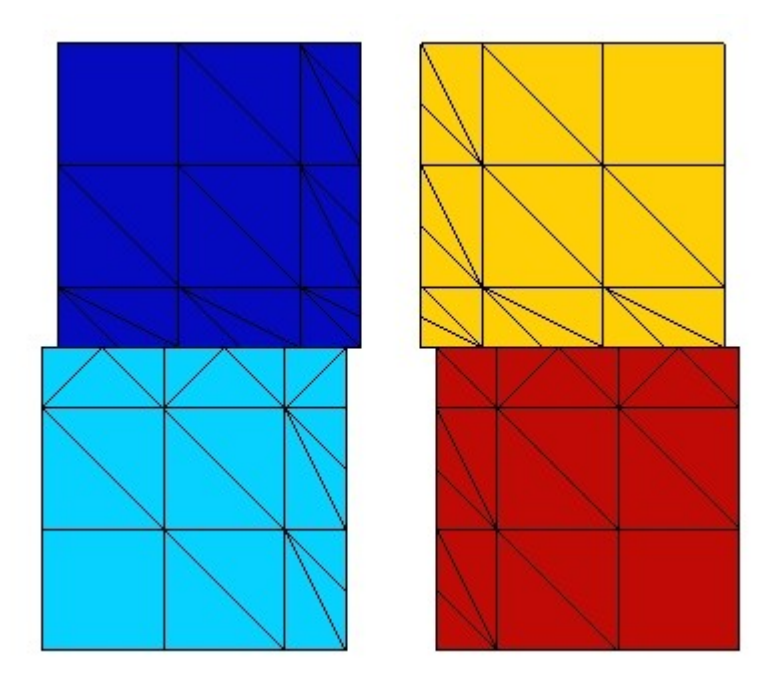


Figure 3.4-a : Déformée de la structure.

On teste la valeur de  $\ensuremath{E^e}$  produit par l'opérateur <code>POST\_ERREUR</code> .

Identification	Type de référence	Valeur de référence
E <sup>e</sup>	'ANALYTIQUE'	0

On teste la valeur de  $\|u\|_{L^2}$  produit par l'opérateur POST\_ERREUR.

Identification	Type de référence	Valeur de référence	Tolérance
Norme L $^2$	'ANALYTIQUE'	6,84653196881	0.1%

Date: 03/05/2018 Page: 18/32 Révision Responsable: COLOMBO Daniele Clé: V6.04.511

e7666fea89fb

#### Modélisation B 4

#### 4.1 Caractéristiques de la modélisation

Il s'agit de la même modélisation que la modélisation A, mais en contraintes planes. L'intersection est construite de la même manière.

#### 4.2 Caractéristiques du maillage

Le maillage qui comporte 54 mailles de type TRIA3 est représenté sur la figure 4.2-a.

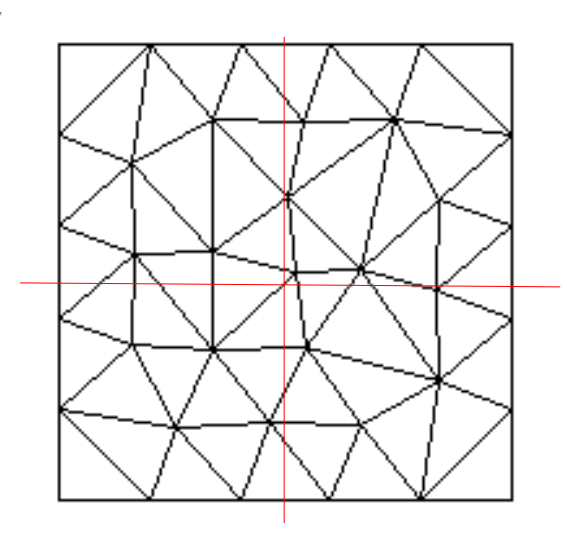


Figure 4.2-a : Le maillage de la modélisation B.

#### 4.3 Grandeurs testées et résultats

Les grandeurs testées sont identiques à celles présentées pour la modélisation A.

Ic	lentification		Référence	Type de référence	Précision
	D11	MIN	-0.25	'ANALYTIQUE'	10^-12%
DEPZON 1	DX	MAX	-0.25	'ANALYTIQUE'	10^-12%
DEPZON_I	DY	MIN	0	'ANALYTIQUE'	10^-12%
	Dī	MAX	0	'ANALYTIQUE'	10^-12%
	DX	MIN	-0.5	'ANALYTIQUE'	10^-12%
DEPZON 2	DA	MAX	-0.5	'ANALYTIQUE'	10^-12%
DEFZON_2	DY	MIN	0	'ANALYTIQUE'	10^-12%
		MAX	0	'ANALYTIQUE'	10^-12%
	DX	MIN	0.75	'ANALYTIQUE'	10^-12%
DEPZON 3		MAX	0.75	'ANALYTIQUE'	10^-12%
DEF 70N-2	DY	MIN	0	'ANALYTIQUE'	10^-12%
	DI	MAX	0	'ANALYTIQUE'	10^-12%
	DX	MIN	0.75	'ANALYTIQUE'	10^-12%
DEPZON 4	DΛ	MAX	0.75	'ANALYTIQUE'	10^-12%
DEE70N-4	DY	MIN	0	'ANALYTIQUE'	10^-12%
	DΙ	MAX	0	'ANALYTIQUE'	10^-12%

Tableau 4.3-1

Responsable : COLOMBO Daniele

Date : 03/05/2018 Page : 19/32 Clé : V6.04.511 Révision

Révision e7666fea89fb

La déformée est représentée sur la figure 4.4-a.

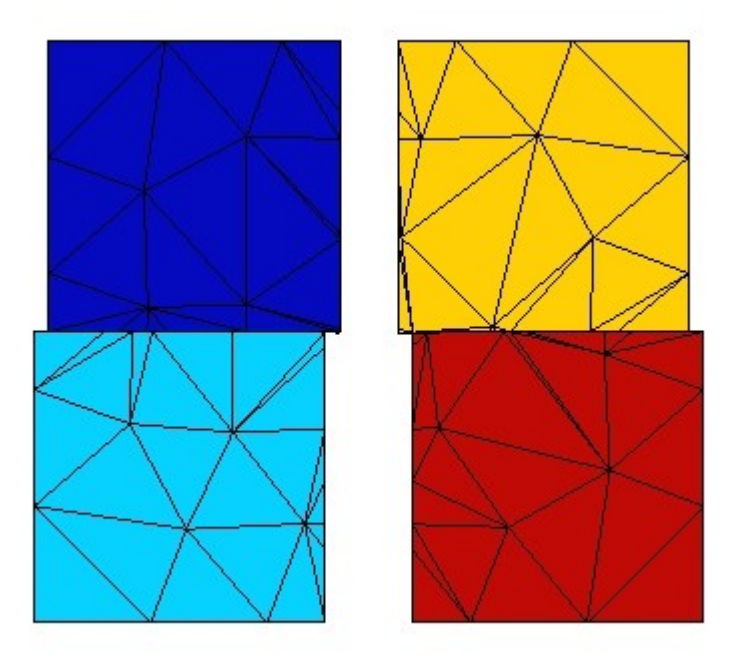


Figure 4.4-a : Déformée de la structure.

On teste la valeur de  $\ensuremath{E^e}$  produit par l'opérateur <code>POST\_ERREUR</code> .

Identification	Type de référence	Valeur de référence
E e	'ANALYTIQUE'	0

On teste la valeur de  $\| {\pmb u} \|_{L^2}$  produit par l'opérateur POST\_ERREUR.

Identification	Type de référence	Valeur de référence	Tolérance
Norme L $^2$	'ANALYTIQUE'	6,84653196881	0.1%

Responsable: COLOMBO Daniele

Date: 03/05/2018 Page: 20/32 Clé: V6.04.511 Révision

e7666fea89fb

#### **Modélisation C** 5

#### Caractéristiques de la modélisation 5.1

Il s'agit de la même modélisation que la modélisation A, mais en 3D . L'intersection est construite de la même manière.

#### Caractéristiques du maillage 5.2

Le maillage qui comporte 25 mailles de type HEXA8 est représenté sur la figure 5.2-a.

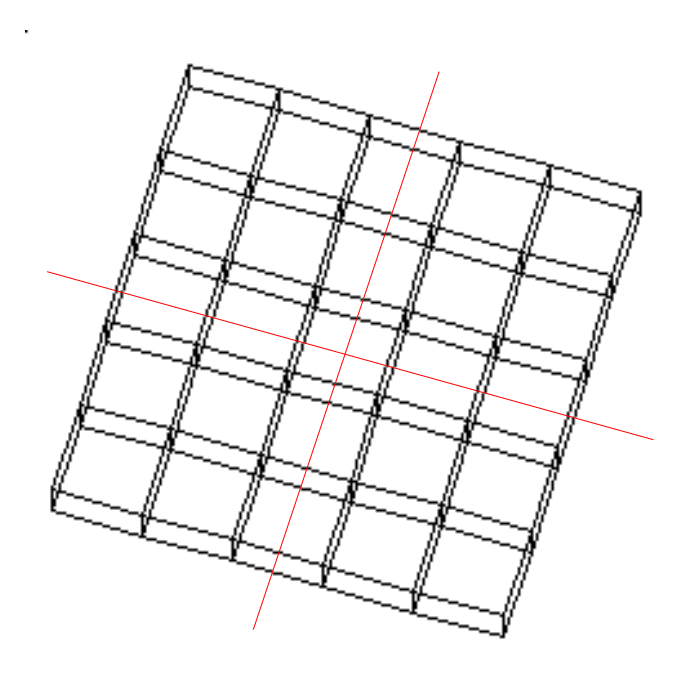


Figure 5.2-a : Le maillage de la modélisation C.

#### 5.3 Grandeurs testées et résultats

Les grandeurs testées sont identiques à celles présentées pour la modélisation A. On ajoute des tests  $sur\; \mathtt{DZ}$  .

lo	lentification		Référence	Type de référence	Précision
	DV	MIN	-0.25	'ANALYTIQUE'	10^-12%
DEPZON 1	DX	MAX	-0.25	'ANALYTIQUE'	10^-12%
DEFZON_I	DY	MIN	0	'ANALYTIQUE'	10^-12%
	DI	MAX	0	'ANALYTIQUE'	10^-12%
	DV	MIN	-0.5	'ANALYTIQUE'	10^-12%
DEPZON 2	DX	MAX	-0.5	'ANALYTIQUE'	10^-12%
DEFZON_2	DY	MIN	0	'ANALYTIQUE'	10^-12%
		MAX	0	'ANALYTIQUE'	10^-12%
	DX	MIN	0.75	'ANALYTIQUE'	10^-12%
DEPZON 3		MAX	0.75	'ANALYTIQUE'	10^-12%
DEFZON_3	DY	MIN	0	'ANALYTIQUE'	10^-12%
	DI	MAX	0	'ANALYTIQUE'	10^-12%
DEPZON 4	DX	MIN	0.75	'ANALYTIQUE'	10^-12%
	DV	MAX	0.75	'ANALYTIQUE'	10^-12%
DEFZON_4	DY	MIN	0	'ANALYTIQUE'	10^-12%
	DI	MAX	0	'ANALYTIQUE'	10^-12%

Titre : SSNV511 – Bloc découpé par deux interfaces interse[...]
Responsable : COLOMBO Daniele

Date : 03/05/2018 Page : 21/32 Clé : V6.04.511 Révision

e7666fea89fb

#### Tableau 5.3-1

La déformée est représentée sur la figure 5.4-a.

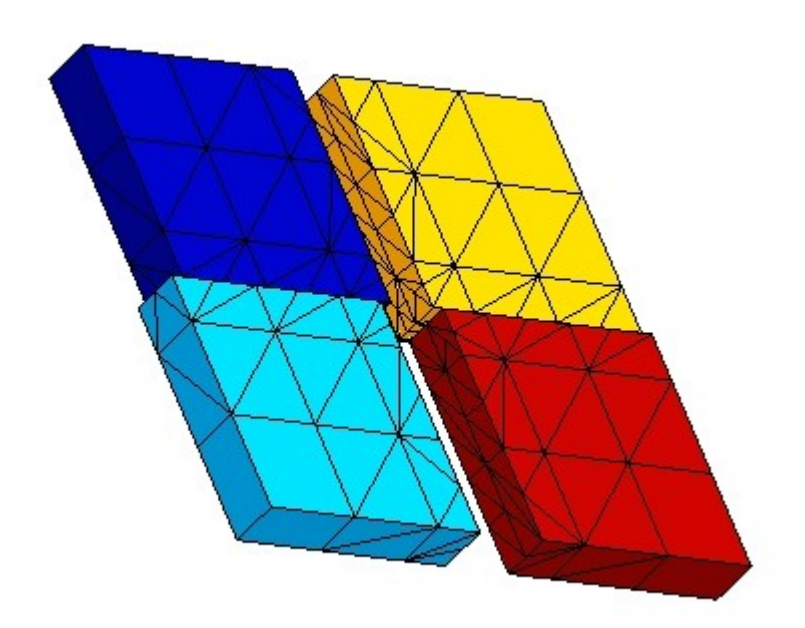


Figure 5.4-a : Déformée de la structure.

On teste la valeur de  $\ensuremath{E^e}$  produit par l'opérateur <code>POST\_ERREUR</code> .

Identification	Type de référence	Valeur de référence
E e	'ANALYTIQUE'	0

On teste la valeur de  $\| \boldsymbol{u} \|_{L^2}$  produit par l'opérateur POST\_ERREUR.

Identification	Type de référence	Valeur de référence	Tolérance
Norme L $^2$	'ANALYTIQUE'	6,84653196881	0.1%

Responsable : COLOMBO Daniele Clé : V6.04.511 Re

Date: 03/05/2018 Page: 22/32 Clé: V6.04.511 Révision e7666fea89fb

## 6 Modélisation D

## 6.1 Caractéristiques de la modélisation

Il s'agit de la même modélisation que la modélisation C.

## 6.2 Caractéristiques du maillage

Le maillage qui comporte 162 mailles de type TETRA4 est représenté sur la figure 6.2-a.

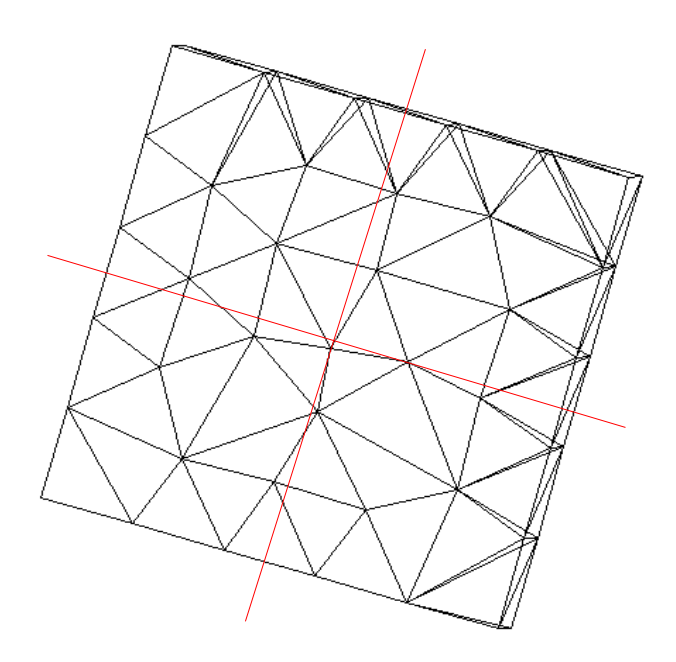


Figure 6.2-a : Le maillage de la modélisation D.

### 6.3 Grandeurs testées et résultats

Les grandeurs testées sont identiques à celles présentées pour la modélisation C.

ld	lentification		Référence	Type de référence	Précision
	D.1.	MIN	-0.25	'ANALYTIQUE'	10^-12%
DEDZON 1	DX	MAX	-0.25	'ANALYTIQUE'	10^-12%
DEPZON_1	DY	MIN	0	'ANALYTIQUE'	10^-12%
	DΙ	MAX	0	'ANALYTIQUE'	10^-12%
	DX	MIN	-0.5	'ANALYTIQUE'	10^-12%
DEDZOM 2	DX	MAX	-0.5	'ANALYTIQUE'	10^-12%
DEPZON_2	DY	MIN	0	'ANALYTIQUE'	10^-12%
		MAX	0	'ANALYTIQUE'	10^-12%
	DX	MIN	0.75	'ANALYTIQUE'	10^-12%
DEDZOM 3		MAX	0.75	'ANALYTIQUE'	10^-12%
DEPZON_3	DV	MIN	0	'ANALYTIQUE'	10^-12%
	DY	MAX	0	'ANALYTIQUE'	10^-12%
DEPZON_4	DX	MIN	0.75	'ANALYTIQUE'	10^-12%
	עע	MAX	0.75	'ANALYTIQUE'	10^-12%
	DY	MIN	0	'ANALYTIQUE'	10^-12%
	лі	MAX	0	'ANALYTIQUE'	10^-12%

Titre: SSNV511 – Bloc découpé par deux interfaces interse[...]
Responsable: COLOMBO Daniele

Date : 03/05/2018 Page : 23/32 Clé : V6.04.511 Révision

e7666fea89fb

#### Tableau 6.3-1

La déformée est représentée sur la figure 6.4-a.

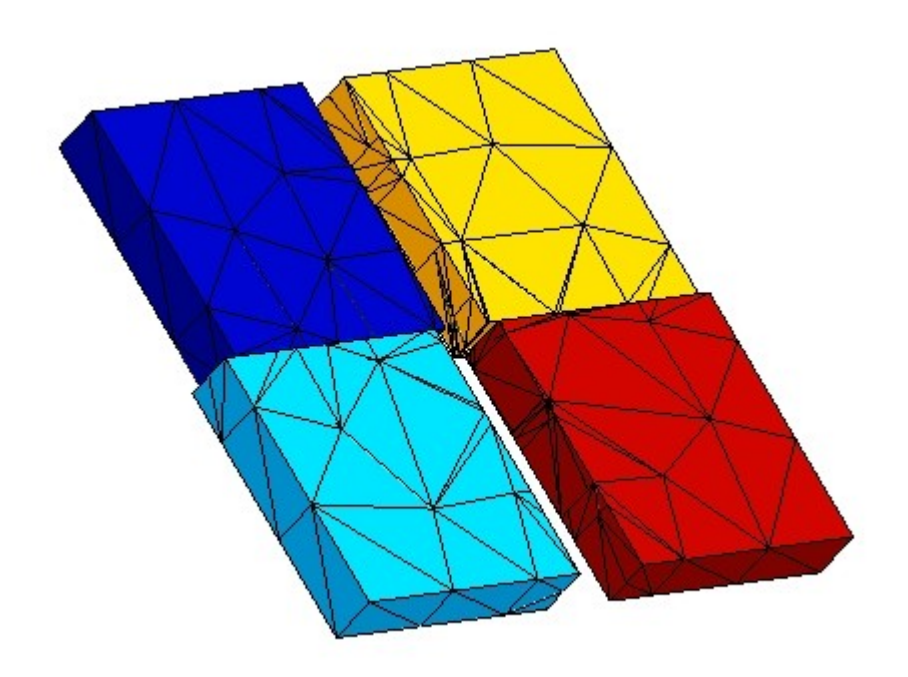


Figure 6.4-a : Déformée de la structure.

On teste la valeur de  $E^e$  produit par l'opérateur POST ERREUR.

Identification	Type de référence	Valeur de référence
E <sup>e</sup>	'ANALYTIQUE'	0

On teste la valeur de  $\| {\pmb u} \|_{L^2}$  produit par l'opérateur POST\_ERREUR.

Identification	Type de référence	Valeur de référence	Tolérance
Norme L <sup>2</sup>	'ANALYTIQUE'	6,84653196881	0.1%

Responsable : COLOMBO Daniele

Date: 03/05/2018 Page: 24/32 Clé: V6.04.511 Révision

e7666fea89fb

### 7 Modélisation E

## 7.1 Caractéristiques de la modélisation

Il s'agit de la même modélisation que la modélisation A, mais on applique les conditions de chargement en contact. L'intersection est construite avec X-FEM et les fonctions de niveaux de la même manière que pour la modélisation A.

## 7.2 Caractéristiques du maillage

Le maillage identique à celui de la modélisation A, est représenté figure 3.2-a. Notons que les nœuds de la maille intersectée sont enrichis 3 fois, ils possèdent donc les degrés de liberté de contact  $LAGS\_C$ ,  $LAG2\_C$  et  $LAG3\_C$  en plus des degrés de liberté cinématiques.

#### 7.3 Grandeurs testées et résultats

On teste les déplacements au niveau des lèvres des fissures après avoir effectué les opérations de post-traitements relatives à X-FEM (POST\_MAIL\_XFEM et POST\_CHAM\_XFEM). Le déplacement DX doit suivre la fonction  $u_x$  de l'équation 2.2-2. Le déplacement DY doit suivre la fonction  $u_y$  de l'équation 2.2-3. On obtient la déformée de la figure 7.4-a.

Identification			Référence
	DV 44	MIN	0
DEPZON 1	DX- $u_x$	MAX	0
DEFZON_I	DV - 11	MIN	0
	DY- $u_y$	MAX	0
	DV - 11	MIN	0
DEPZON 2	DX- $u_x$	MAX	0
DEFZON_2	DY- $u_y$	MIN	0
		MAX	0
	$DX-u_x$ MIN MAX	MIN	0
DEPZON 3		MAX	0
DEFZON_3	DY- $u_y$	MIN	0
		MAX	0
	DX- $u_x$	MIN	0
DEPZON 4		MAX	0
DEFZON_4	DV- 11	MIN	0
	DY- $u_y$	MAX	0

Tableau 7.3-1

La déformée est représentée sur la figure 7.4-a. Le code couleur représente le champ de déplacement.

Responsable : COLOMBO Daniele

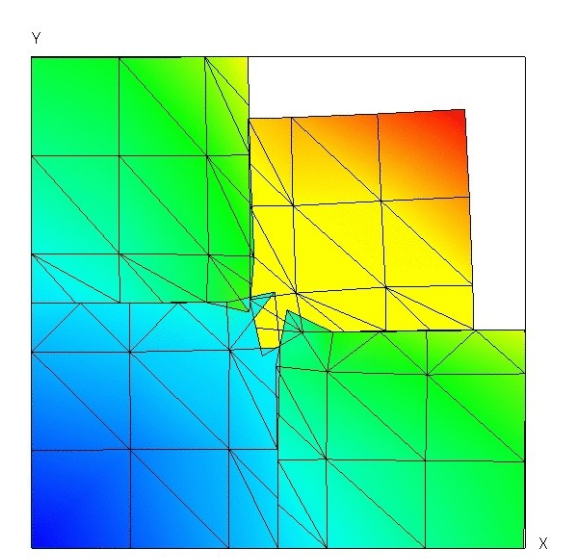


Figure 7.4-a : Déformée de la structure (exagération 10).

On teste la valeur de  $E^e$  produit par l'opérateur POST ERREUR (exprimée en  $J \times m^{-1}$ ).

Identification	Type de référence	Valeur de référence
E e	'ANALYTIQUE'	1,3975 10 <sup>6</sup>

On teste la valeur de  $\|u\|_{L^2}$  produit par l'opérateur POST\_ERREUR.

Identification	Type de référence	Valeur de référence	Tolérance
Norme L $^2$	'ANALYTIQUE'	0,791204250915	0.1%

# 7.4 Remarques

On obtient une erreur élevée. En effet l'implémentation du redécoupage des facettes de contact n'a pas été implémenté. Les efforts de contact sur ces facettes ne sont pas prises en compte dans le calcul. La zone affecté concerne notamment le point d'intersection des fissures (que l'on ne teste pas) ainsi que l'élément le contenant. Notons que les résultats sont nettement améliorer lorsqu'on raffine le maillage.

Responsable : COLOMBO Daniele

Date : 03/05/2018 Page : 26/32 Clé : V6.04.511 Révision

e7666fea89fb

### 8 Modélisation F

## 8.1 Caractéristiques de la modélisation

Il s'agit de la même modélisation que la modélisation E, mais en contraintes planes. L'intersection est construite de la même manière.

## 8.2 Caractéristiques du maillage

Le maillage identique à celui de la modélisation B, est représenté sur la figure 4.2-a.

#### 8.3 Grandeurs testées et résultats

On teste les déplacements au niveau des lèvres des fissures après avoir effectué les opérations de post-traitements relatives à X-FEM (POST\_MAIL\_XFEM et POST\_CHAM\_XFEM). Le déplacement DX doit suivre la fonction  $u_x$  de l'équation 2.2-7. Le déplacement DY doit suivre la fonction  $u_y$  de l'équation 2.2-8. On obtient la déformée de la figure 7.4-a.

Identification			Référence
	DV 44	MIN	0
DEPZON 1	$DX-u_x$	MAX	0
DEFTON_I	DV - 11	MIN	0
	DY- $u_y$	MAX	0
	DV- 11	MIN	0
DEPZON 2	DX- $u_x$	MAX	0
	DY- $u_y$	MIN	0
		MAX	0
	DV- 11	MIN	0
DEPZON 3	DX- $u_x$	MAX	0
DEFTON_3	DY- $u_y$	MIN	0
		MAX	0
	DX- $u_x$	MIN	0
DEPZON 4		MAX	0
DEL 7011-4	DV- 11	MIN	0
	DY- $u_y$	MAX	0

Tableau 8.3-1

La déformée est représentée sur la figure 8.4-a.

Responsable : COLOMBO Daniele

Date: 03/05/2018 Page: 27/32 Clé: V6.04.511 Révision e7666fea89fb

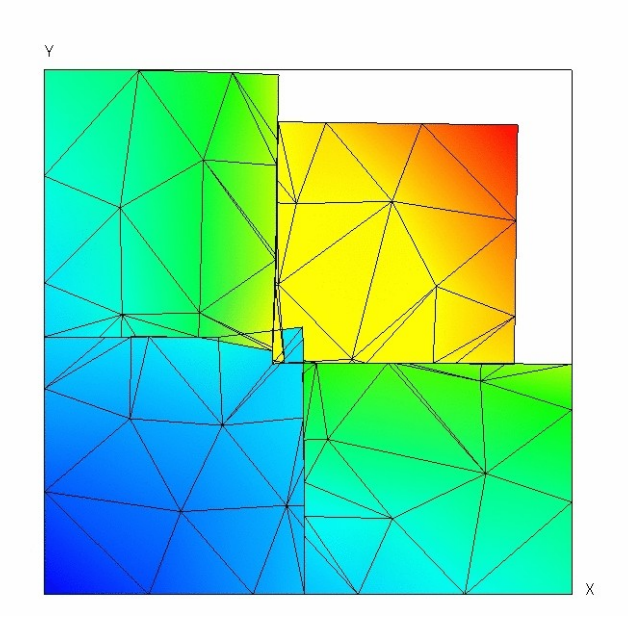


Figure 8.4-a : Déformée de la structure (exagération 10).

On teste la valeur de  $E^e$  produit par l'opérateur POST\_ERREUR (exprimée en  $J \times m^{-1}$ ).

Identification	Type de référence	Valeur de référence
E <sup>e</sup>	'ANALYTIQUE'	1,825 10 <sup>6</sup>

On teste la valeur de  $\|u\|_{L^2}$  produit par l'opérateur POST\_ERREUR.

Identification	Type de référence	Valeur de référence	Tolérance
Norme L <sup>2</sup>	'ANALYTIQUE'	0,992051745962	0.1%

## 8.4 Remarques

Les remarques sont identiques à celles formulées pour la modélisation E.

Responsable : COLOMBO Daniele

Date : 03/05/2018 Page : 28/32 Clé : V6.04.511 Révision

e7666fea89fb

### 9 Modélisation G

### 9.1 Caractéristiques de la modélisation

Il s'agit de la même modélisation que la modélisation E, mais en 3D. L'intersection est construite de la même manière.

### 9.2 Caractéristiques du maillage

Le maillage identique à celui de la modélisation C, est représenté sur la figure 5.2-a.

#### 9.3 Grandeurs testées et résultats

On teste les déplacements au niveau des lèvres des fissures après avoir effectué les opérations de post-traitements relatives à X-FEM (POST\_MAIL\_XFEM et POST\_CHAM\_XFEM). Le déplacement DX doit suivre la fonction  $u_x$  de l'équation 2.2-7. Le déplacement DY doit suivre la fonction  $u_y$  de l'équation 2.2-8. Le déplacement DZ doit suivre la fonction  $u_z$  de l'équation 2.2-9. On obtient la déformée de la figure 7.4-a.

Identification			Référence
	DV 4	MIN	0
	$DX-u_x$	MAX	0
DEDZOM 1	DV 41	MIN	0
DEPZON_1	DY- $u_y$	MAX	0
	D7 - 11	MIN	0
	$DZ-u_z$	MAX	0
	DV - 11	MIN	0
	$DX-u_x$	MAX	0
DEDZOM 2	DV- 11	MIN	0
DEPZON_2	DY- $u_y$	MAX	0
	DZ- $u_z$	MIN	0
		MAX	0
	DX- $u_x$	MIN	0
		MAX	0
DEPZON 3	DV - 11	MIN	0
DEFZON_3	DY- $u_y$	MAX	0
	$DZ-u_z$	MIN	0
	$D_z - u_z$	MAX	0
	DY- 11	MIN	0
DEPZON_4	$DX-u_x$	MAX	0
	DV- 11	MIN	0
	$DY-u_y$	MAX	0
	D7 - 11	MIN	0
	DZ- $u_z$	MAX	0

Tableau 9.3-1

La déformée est représentée sur la figure 9.4-a.

Responsable : COLOMBO Daniele

Date : 03/05/2018 Page : 29/32 Clé : V6.04.511 Révision

e7666fea89fb

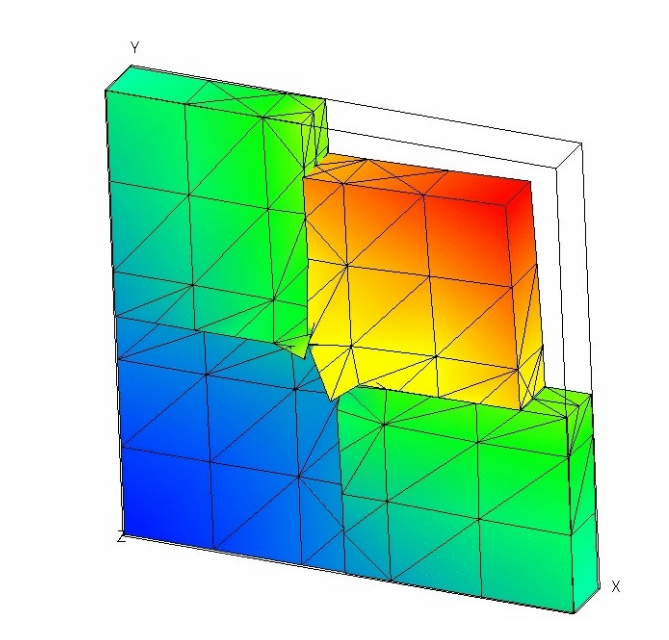


Figure 9.4-a : Déformée de la structure (exagération 10).

On teste la valeur de  $E^e$  produit par l'opérateur <code>POST\_ERREUR</code> (exprimée en  $\ J$  ).

Identification	Type de référence	Valeur de référence
E <sup>e</sup>	'ANALYTIQUE'	1,825 10 <sup>6</sup>

On teste la valeur de  $\|u\|_{L^2}$  produit par l'opérateur POST\_ERREUR.

Identification	Type de référence	Valeur de référence	Tolérance
Norme L $^2$	'ANALYTIQUE'	0,99348712456	0.1%

# 9.4 Remarques

Les remarques sont identiques à celles formulées pour la modélisation E.

Responsable : COLOMBO Daniele

Date : 03/05/2018 Page : 30/32 Clé : V6.04.511 Révision

Révision e7666fea89fb

## 10 Modélisation H

## 10.1 Caractéristiques de la modélisation

Il s'agit de la même modélisation que la modélisation G.

## 10.2 Caractéristiques du maillage

Le maillage identique à celui de la modélisation D, est représenté sur la figure 6.2-a.

### 10.3 Grandeurs testées et résultats

Les grandeurs testées sont identiques à celles présentées pour la modélisation G.

Identification			Référence
	DV 44	MIN	0
	$DX-u_x$	MAX	0
DEDZON 1	DV 11	MIN	0
DEPZON_1	$DY-u_y$	MAX	0
	D7 - 11	MIN	0
	DZ- $u_z$	MAX	0
	DV- 11	MIN	0
	DX- $u_x$	MAX	0
DEDZON 2	DV- 11	MIN	0
DEPZON_2	DY- $u_y$	MAX	0
	DZ- $u_z$	MIN	0
		MAX	0
	DX- $u_x$	MIN	0
		MAX	0
DEPZON 3	DY- 11	MIN	0
DB1 20N_3	$DY-u_y$	MAX	0
	$DZ-u_z$	MIN	0
	$D_z$	MAX	0
	DY - 11	MIN	0
DEPZON_4	$DX-u_x$	MAX	0
	DY- 11	MIN	0
	$DY-u_y$	MAX	0
	$DZ-u_z$	MIN	0
	$D\Delta = u_z$	MAX	0

**Tableau 10.3-1** 

Responsable: COLOMBO Daniele

Date : 03/05/2018 Page : 31/32 Clé : V6.04.511 Révision

e7666fea89fb

La déformée est représentée sur la figure 10.4-a.

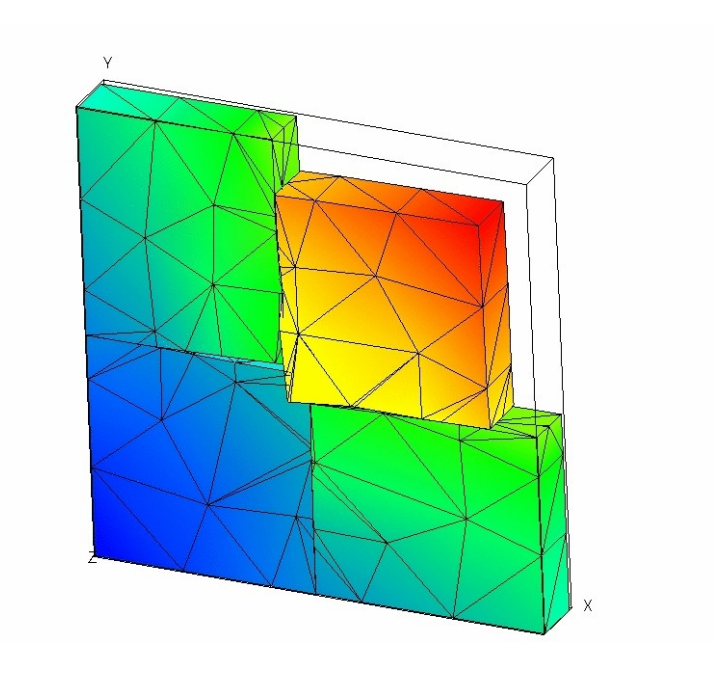


Figure 10.4-a : Déformée de la structure (exagération 10).

On teste la valeur de  $E^e$  produit par l'opérateur POST ERREUR (exprimée en J ).

Identification	Type de référence	Valeur de référence
E <sup>e</sup>	'ANALYTIQUE'	1,825 10 <sup>6</sup>

On teste la valeur de  $\|u\|_{L^2}$  produit par l'opérateur POST\_ERREUR.

Identification	Type de référence	Valeur de référence	Tolérance
Norme L $^2$	'ANALYTIQUE'	0,99348712456	0.1%

# 10.4 Remarques

Les remarques sont identiques à celles formulées pour la modélisation E.

Responsable: COLOMBO Daniele

Date : 03/05/2018 Page : 32/32 Clé : V6.04.511 Révision

e7666fea89fb

# 11 Synthèse des résultats

La représentation de jonctions avec X-FEM permet de modéliser la cinématique d'ouverture de l'intersection de deux interfaces. Il est aussi possible de faire la même chose avec des fonds de fissures de part et d'autre de la jonction, mais il faut prendre soin d'éloigner le fond de l'intersection (environ 2 mailles pour un enrichissement topologique car on ne sait pas encore gérer la présence de Heaviside supplémentaires pour des éléments Crack-tip. Un élément Crack-tip ne peut actuellement pas « voir » plus d'une fissure à la fois).

L'approche a été validée en 2D pour des modélisations C\_PLAN et D\_PLAN et pour les éléments de type QUAD4 et TRIA3. On a aussi validé l'approche en 3D pour les éléments HEXA8 et TETRA4, avec et sans contact.